

НОВАЯ РЕОЛОГИЧЕСКАЯ МОДЕЛЬ ПОЛЗУЧЕСТИ ГЛИНЫ ПРИ СДВИГЕ¹

Профессор, докт. техн. наук Г. И. ТЕР-СТЕПАНЯН²

Реферат. Предлагается новая реологическая модель ползучести глины при сдвиге. Модель состоит из упругого тела последовательно соединенного с парой, в которой пластическое тело параллельно соединено с упруго-вязким релаксирующим разрушающимся телом с переменной вязкостью. Реологическое тело моделирует обе фазы ползучести—мобилизации и разрушения, и вероятностный характер механических свойств возникающих и разрушающих в процессе сдвига структур грунта. Выведены уравнения механического поведения модели в процессе ползучести в фазах мобилизации и разрушения; эти уравнения адекватно отражают поведение грунта при ползучести.

Теоретическое изучение и экспериментальные работы, проведенные в 1969—1972 годах, позволили прийти к некоторым выводам относительно поведения глины в процессе ползучести при сдвиге. Предварительное сообщение о результатах исследования было представлено VIII Международному конгрессу по механике грунтов в Москве (Тер-Степанян и др., 1973). Для лучшего понимания условий работы предлагаемой модели и ее соответствия реологическому поведению грунта ниже кратко излагаются основные теоретические и экспериментальные результаты. Более подробно они будут представлены в другом месте.

Теоретические и экспериментальные результаты

Процесс ползучести глины при сдвиге состоит из двух фаз—мобилизации и разрушения. В процессе ползучести глины возникает и разрушается последовательный ряд структур грунта, характеризующихся определенным расположением и ориентацией частиц, контактов между ними и действующими в контактах силами.

Деформативные свойства структур грунта определяются соотношением между двумя противоположными свойствами: текучестью и жесткостью. В количественной форме эти свойства выражаются векторными суммами касательных F и нормальных R составляющих контактных сил, действующих по рассматриваемому сечению aa грунта, проведенному через контакты частиц (рис. 1). Чем выше соотношение F/R , тем более деформируется грунт. В процессе ползучести сохраняется соотношение

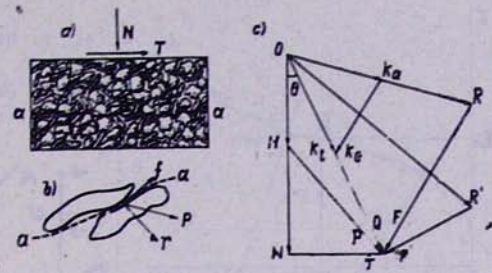
¹ Доложено на Симпозиуме по теории оползневого процесса в мае 1973 г. в Дилижане (Армения).

² Зав. Лабораторией геомеханики Академии наук АрмССР.

Рис. 1. Силы в точках контакта;
а) образец грунта; б) силы в точках контакта; в) многоугольник сил.

Чт. 1. Найден квадратичный закон. а) фрагмент грунта. б) схема квадратичной зависимости. в) многоугольник сил.

Fig. 1. Forces in points of contact;
a) soil sample; b) forces in contact point; c) force polygon.



$$\mathbf{F} + \mathbf{R} = \mathbf{Q} \quad (1)$$

где \mathbf{Q} —вектор полной силы, действующей в сечении грунта.

Переход от одной структуры к другой совершается скачкообразно; во время перестройки структуры происходит разрядка избыточных напряжений сдвига и их переход в активные напряжения. При этом сохраняется соотношение

$$k_a - k_e = k_t \quad (2)$$

где $k_a = (R/Q)\tan\theta$ вектор отношения активных сил, показывающий ту часть контактных сил, которые реализовались в имевшей место деформации, и характеризующий «жесткость» структуры грунта; $k_e = (F/Q)\tan\theta$ вектор отношения избыточных сил, показывающий ту часть контактных сил, которые не реализовались в деформации; он характеризует «текучесть» структуры грунта, и $k_t = \tan\theta$ вектор мобилизованного сопротивления сдвигу, направленный вдоль равнодействующих всех сил Q .

В фазе мобилизации происходит упорядочение структуры грунта, т. е. ориентация его чешуйчатых частиц, среднее время оседлой жизни связей увеличивается и поэтому скорость ползучести $\dot{\gamma}$ уменьшается пропорционально возрасту напряжения t

$$\dot{\gamma} = a \frac{\tau - \tau_p}{\zeta} \cdot \frac{1}{t}, \quad (3)$$

где a —структурный коэффициент, зависящий от деформируемости F/R грунта и времени оседлой жизни связей, τ —действующее касательное напряжение, τ_p —то значение касательного напряжения, при котором не происходит ползучести и ζ —статическая вязкость грунта.

В фазе разрушения структура грунта дается менее упорядоченной, т. е. происходит деориентация грунта, среднее время оседлой жизни связей уменьшается и поэтому скорость ползучести увеличивается прямо пропорционально времени

$$\dot{\gamma} = a \frac{\tau - \tau_p}{\zeta t_m^2} t, \quad (4)$$

где t_m —время мобилизации, соответствующее переходу от фазы мобилизации к фазе разрушения. Этот переход происходит после совершения определенной деформации γ_m , величина которой зависит от уровня напряжений.

Поэтому кривая зависимости между временем и деформацией сдвига в фазе мобилизации состоит из кусков логарифмических кривых

$$\gamma = a \frac{\tau - \tau_p}{\zeta} \ln \left(\frac{t + \Delta t}{\Delta t} \right) + C, \quad (5)$$

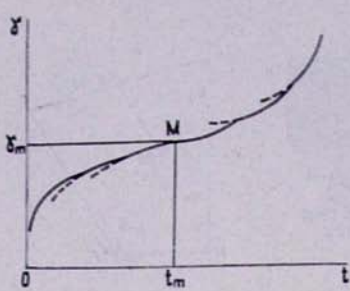


Рис. 3. Скорость ползучести как функция времени.

Ч. 3. Դեղումացիական արագությունը պահանջման ժամանակի փունկցիա:

Fig. 3. Strain rate as function of time.

а в фазе разрушения—из кусков парабол

$$\dot{\gamma} = a \frac{\tau - \tau_p}{\tau^2} t^2 + C, \quad (6)$$

где Δt —малый промежуток времени, равный единице, напр. 1 секунда, вводимый в формулу для лучшей математической интерпретации.

В момент перестройки структуры процесс пересекает с одной возможной кривой на другую, ее пересекающую (рис. 2). Каждый такой кусок кривой отвечает определенной структуре грунта.

На рис. 3 показана экспериментальная зависимость между временем и скоростью ползучести, иллюстрирующая уравнения (3) и (4); график показывает скачкообразное изменение скорости ползучести в обеих фазах деформаций.

Произведение скорости ползучести при отсутствии перестройки структуры на возраст касательных напряжений линейно связано с величиной этих напряжений (рис. 4). Эти линии описываются уравнением

$$\tau = \tau_p + \dot{\gamma} t \gamma. \quad (7)$$

Таким образом, на приведенных реологических кривых статическая вязкость представляет собой тангенс угла, образованного наклонной частью графика с осью ординат.

На рис. 5 показана линейная зависимость между касательным напряжением и деформацией при пределе мобилизации

$$\gamma_m = \frac{\tau - \tau_p}{G_m}, \quad (8)$$

где G_m —модуль мобилизации.

При низких и средних уровнях напряжений в фазе разрушения наступает перелом хода процесса, ведущий к его затуханию (предел стабилизации S); деформация γ_s , соответствующая пределу стабилизации, зависит от уровня касательных напряжений. На рис. 6 показана линейная зависимость между величинами касательного напряжения и деформацией γ_s , выражаемая уравнением

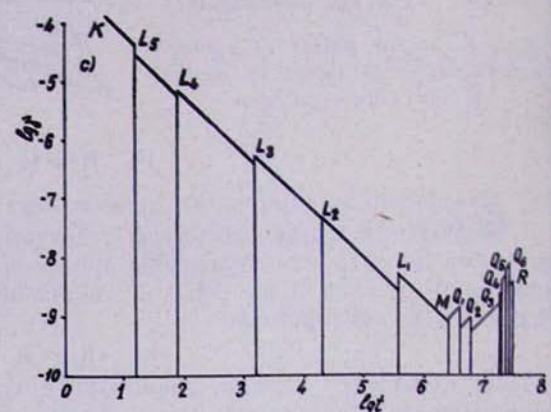


Рис. 2. Схема кривых ползучести при сдвиге; M —предел мобилизации.

Ч. 2. Մասնակի սպառի կուպածերի սխեման
 M -մոբիլիզման սահման:

Fig. 2. Scheme of creep curves at shear: M -mobility limit.

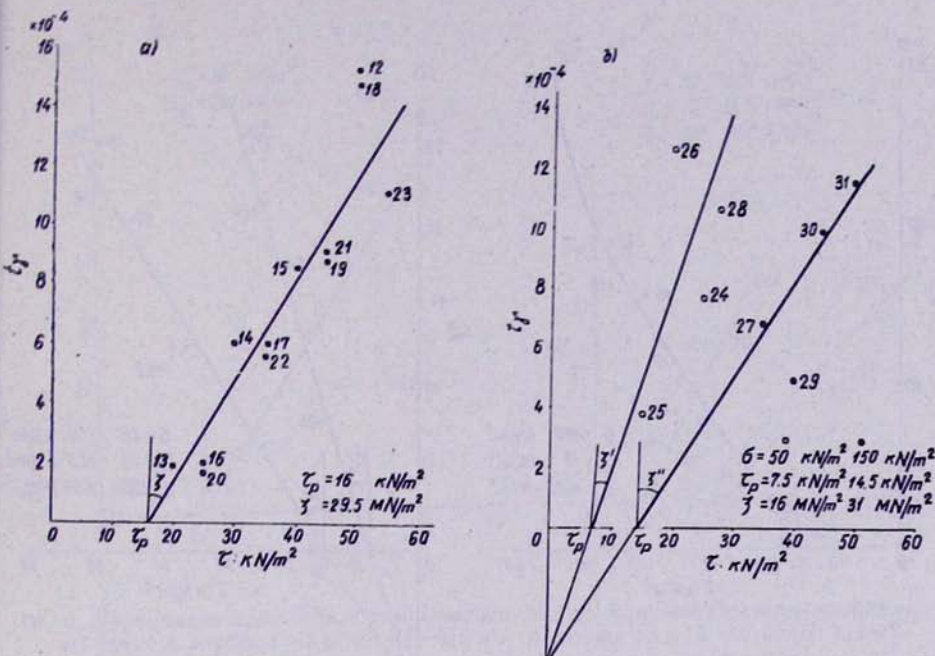


Рис. 4. Приведенные реологические кривые: а) грунт с глубины 40 м; $\sigma=100 \text{ kN/m}^2$; б) то же 76 м; $\sigma=50$ и 150 kN/m^2 .

Чт. 4. მცენად მცილებული კორელაციები. а) კონსა 40 მ სიღრულეში $\sigma=100 \text{ kN/m}^2$.
б) სავარ 76 მ, $\sigma=50$ և 150 kN/m^2 .

Fig. 4. Reduced rheological curves: a) soil from depth 40 m. $\sigma=100 \text{ kN/m}^2$;
b) ditto 76 m, $\sigma=50$ and 150 kN/m^2 .

$$\gamma_s = \frac{\tau - \tau_p}{G_s}, \quad (9)$$

где G_s —модуль стабилизации. При высоких уровнях касательных напряжений процесс заканчивается полным разрушением (срезом) после достижения некоторой деформации γ_r .

На рис. 7 показана зависимость между деформацией и скоростью ползучести (присущая кривая). Анализ скорости ползучести до и после скачка показывает, что скачкообразное изменение структуры грунта имеет своим назначением отклонить предписанный уравнениями механического поведения структур (уравнения 3 до 6) ход деформирования к закономерному, присущему данному грунту.

Таким образом реологическое поведение глины при данном значении нормальных напряжений определяется четырьмя постоянными величинами, имеющими размерность напряжения: пределом ползучести, статической вязкостью и модулями мобилизации и стабилизации. Эти четыре величины линейно связаны с нормальным давлением, действующим на грунт (рис. 8).

$$\tau_p = C_p(\sigma' + \sigma_0) \quad (10)$$

$$\gamma_s = C_s(\sigma' + \sigma_0) \quad (11)$$

$$G_m = C_m(\sigma' + \sigma_0) \quad (12)$$

$$G_s = C_s(\sigma' + \sigma_0) \quad (13)$$

где $\sigma_0 = c' \operatorname{ctg} \varphi'$ —всестороннее давление связности, c' и φ' —параметры

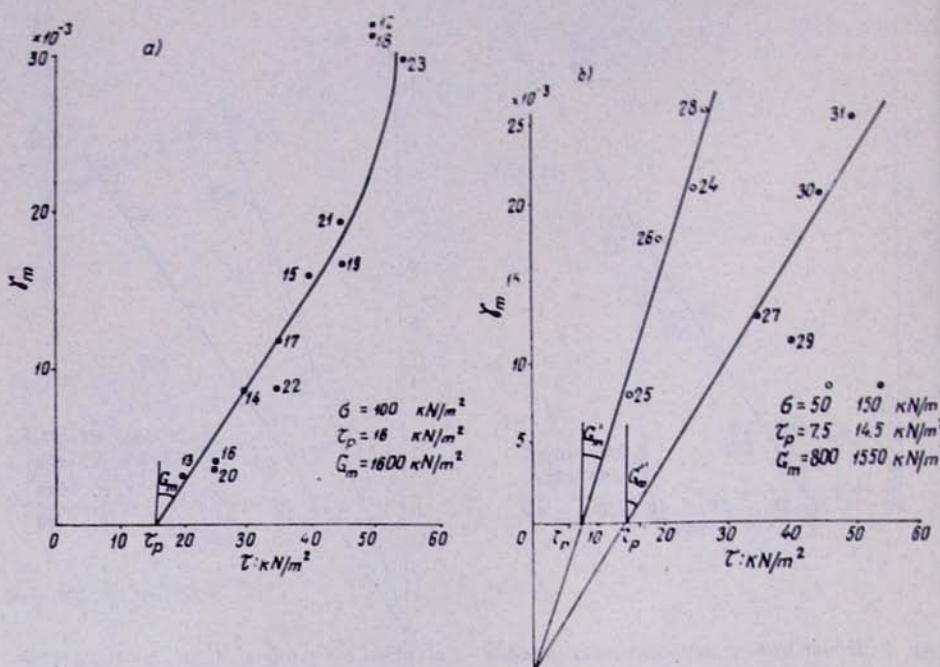


Рис. 5. Деформация при пределе мобилизации как функция касательного напряжения;
а) грунт с глубины 40 м; б) то же 76 м.

Ч. 5. Մորթիլիացման դեպքումացման պահին շարժական լաւագույնի ֆունկցիա. а) գրունտ 40 մ խորությունից. б) նույն 76 մ:

Fig. 5. Mobilization strain as a function of shear stress: a) soil from depth 40 m;
b) ditto 76 m.

сопротивления сдвигу τ_t уравнения Кулона—Терцаги, $\tau_t = c' + \sigma' \tan \varphi'$ и σ' —эффективное напряжение в грунте.

Устройство реологической модели

Изложенная выше теория ползучести глины при сдвиге и экспериментально установленные закономерности поведения грунта позволяют предложить новую реологическую модель грунта (рис. 9). Модель состоит из трех частей: верхней, левой и правой.

Верхняя часть—упругое тело Гука (пружина H_a). Под действием приложенного касательного напряжения τ пружина мгновенно удлиняется на длину γ_a

$$\gamma_a = \frac{\tau}{G_a}, \quad (14)$$

где G_a —модуль растяжения пружины H_a . Тело претерпевает упругую мгновенную деформацию при любом напряжении τ .

Левая часть—пластическое тело Сен-Венана (ползун StV), между элементами которого действует сухое или Кулоново трение. Если приложенное напряжение $\tau < \tau_p$, где τ_p —предел пластичности ползуна, то последний остается неподвижным; если $\tau > \tau_p$, то ползун необратимо смещается. Таким образом, ползун может воспринять напряжение,

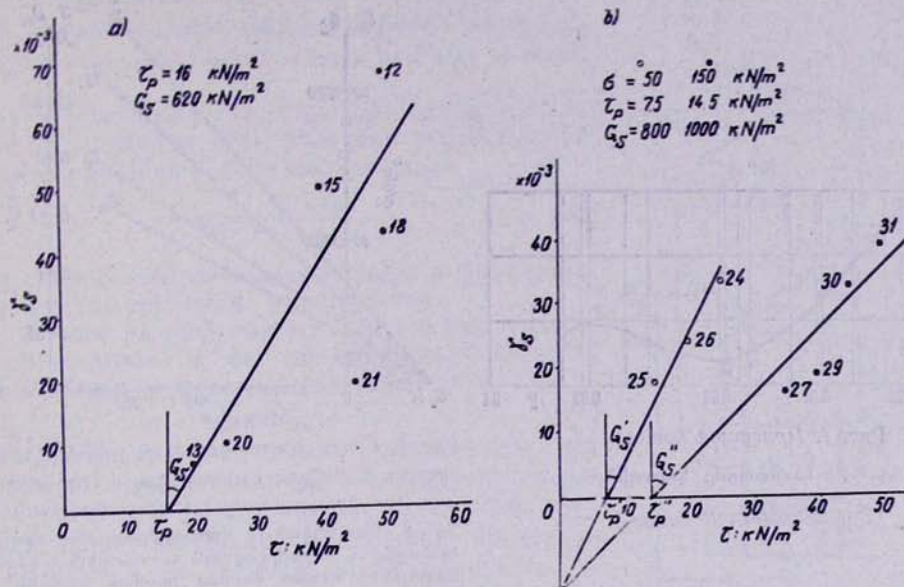


Рис. 6. Деформация при пределе стабилизации как функция касательного напряжения;
а) грунт с глубины 40 м, $\sigma=100 \text{ kN}/\text{m}^2$; б) то же 76 м, $\sigma=50$ и $150 \text{ kN}/\text{m}^2$.

Чт. 6. Установлено, что при одинаковых избыточных напряжениях, соответствующих $\sigma=100 \text{ kN}/\text{m}^2$ для грунта из 40 м, деформации при одинаковых избыточных напряжениях, соответствующих $\sigma=50$ и $150 \text{ kN}/\text{m}^2$ для грунта из 76 м, отличаются в 2 раза.

Fig. 6. Stabilization strain as a function of shear stress a) soil from depth 40 m.
 $\sigma=100 \text{ kN}/\text{m}^2$; b) ditto 76 m, $\sigma=50$ and $150 \text{ kN}/\text{m}^2$.

не превышающее τ_p , и двигаться в направлении напряжения под действием избыка $\tau - \tau_p$. Это происходит после того, как пружина H_a растягивается на длину

$$\gamma = \frac{\tau}{G_a}. \quad (15)$$

Правая часть — упруго-вязкое разрушающееся тело с переменной вязкостью. Оно представляет собой пружину H_b , последовательно соединенную с рассверленным поршнем N , имеющим отверстия S и перемещающимся в амортизаторе P , снабженном змеевиком Q . Поршень N имеет клапанный диск K , могущий поворачиваться вокруг оси поршня и снабженный отверстиями T . Повороты диска K совершаются скачкообразно; при этом каждый раз против части отверстия S поршня N оказывается часть отверстий T диска K . Такие сквозные отверстия показаны стрелками на рис. 9. Суммарная площадь сечения сквозных отверстий характеризует структурный коэффициент a ; эта величина изменяется по программе. Каждое положение клапанного диска K соответствует определенной структуре грунта. Длина амортизатора P , считая от начального положения поршня, равна деформации разрушения γ_r . Как только деформация достигнет этой величины, поршень выходит из амортизатора, сопротивление, оказываемое правой частью, устраняется и тело разрушается.

Правая часть реологического тела имеет два контакта L и M . Контакт L включается в начале движения правой части реологического тела, при $\tau > \tau_p$; тогда через змеевик Q протекает охлаждающая жидкость (фаза мобилизации). Второй контакт M включается после совер-

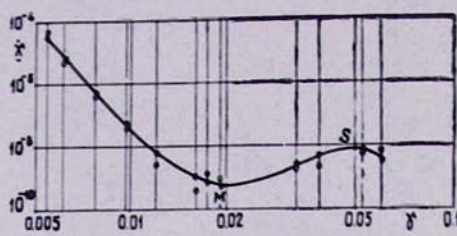


Рис. 7. Присущая кривая.

Ч. 7. Ներհատուկ կորպիք:

Fig. 7. Intrinsic curve.

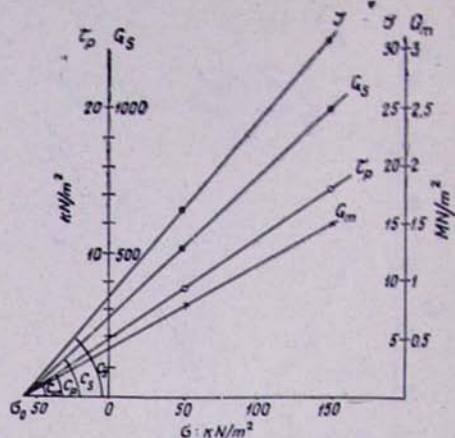


Рис. 8. Статическая вязкость, предел ползучести и модуль мобилизации и стабилизации как функции нормального напряжения.

Ч. 8. Ստատիկական մածուցիկուրյունը, սպղի սահմանը և մարիխացման ու ստարիխացման մոդուլները ուղեւ բարձակ լարման ֆունկցիա:

Fig. 8. Static viscosity, creep limit and mobilization moduli as functions of normal stress.

шения деформации мобилизации γ_m , и тогда через змеевик Q протекает нагревающая жидкость (фаза разрушения). Величина деформации γ_m зависит от уровня напряжений τ и модуля мобилизации G_m и определяется из выражения

$$\gamma_m = \frac{\tau - \tau_p}{G_m}. \quad (16)$$

Часть общего напряжения τ , равная $\tau - \tau_p$, передается правой частью реологического тела и действует на пружину H_b и амортизатор P . Под его действием пружина H_b претерпевает мгновенную упругую деформацию

$$\gamma_b = \frac{\tau - \tau_p}{G_b}, \quad (17)$$

где G_b — модуль растяжения пружины H_b . Под действием напряжения $\tau - \tau_p$ поршень в амортизаторе P перемещается со скоростью

$$\gamma_c = a \frac{\tau - \tau_p}{\eta}, \quad (18)$$

где a — структурный коэффициент, зависящий от площади сквозных отверстий поршня и η — динамическая вязкость жидкости в амортизаторе P .

В фазе мобилизации жидкость в амортизаторе охлаждается и ее динамическая вязкость η увеличивается от нуля прямо пропорционально протекшему времени

$$\eta = \zeta t, \quad (19)$$

Рис. 9. Реологическая модель ползучести глины при сдвиге.

и. 9. Шведовский дифференциальный элемент моделирует ползучесть глины в амортизаторе.

Fig. 9. Rheological model of creep of a clay at shear.

где ζ — статическая вязкость. Подставляя это значение в уравнение (18), получаем скорость перемещения поршня в фазе мобилизации

$$\dot{\gamma}_c = a \frac{\zeta - \zeta_q}{\zeta t}, \quad (20)$$

т. е. скорость перемещения поршня в фазе мобилизации со временем уменьшается.

В фазе разрушения жидкость в амортизаторе нагревается и ее динамическая вязкость уменьшается от максимального значения

$$\eta_m = \zeta t_m, \quad (21)$$

где t_m — время мобилизации, затраченное на достижение деформации γ_m ; это уменьшение динамической вязкости совершается обратно пропорционально величине отношения протекшего времени t ко времени мобилизации t_m по формуле

$$\eta = \frac{\zeta t_m^2}{t}. \quad (22)$$

Подставляя это выражение в уравнение (18), получаем скорость перемещения поршня в фазе разрушения

$$\dot{\gamma}_c = a \frac{\zeta - \zeta_p}{\zeta t_m^2} t \quad (23)$$

т. е. скорость перемещения поршня в фазе разрушения со временем увеличивается.

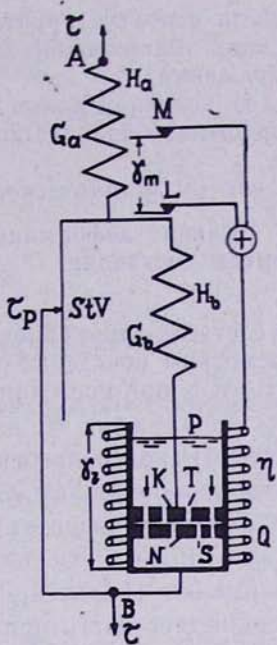
Если концы A и B реологического тела закрепить, то при движении поршня пружина H_b будет упруго восстанавливать свою первоначальную длину. Общая деформация тела сохранится, но напряжения в правой части тела исчезают. Так как напряжения в пружине H_a при этом не устраняются полностью, то в целом имеет место частичная релаксация. Если концы A и B тела оставить незакрепленными, то под действием напряжения будет происходить деформация; к упругой деформации $\gamma_a + \gamma_b$ будет добавляться неупругая деформация γ_c за счет вязкого перемещения поршня, происходящего с изменяющейся скоростью вследствие охлаждения жидкости в амортизаторе со временем в фазе мобилизации (замедляющаяся ползучесть) и ее нагревания в фазе разрушения (ускоряющаяся ползучесть).

Предлагаемое реологическое тело отличается от тела Шведова следующими важными особенностями:

1) змеевиком с охлаждающей или нагревающей жидкостью, который моделирует переменную вязкость, увеличивающуюся в фазе мобилизации и уменьшающуюся в фазе разрушения;

2) контактами L и M , которые управляют охлаждением и нагреванием жидкости в амортизаторе и моделируют предел ползучести и деформацию при пределе мобилизации;

3) клапанным диском с запрограммированным расположением отверстий, который моделирует вероятностный характер механических



свойств структур грунта, предел стабилизации при низких и средних уровнях напряжений и ускорение ползучести при высоких уровнях напряжений;

4) конечная длина γ_r амортизатора, которая моделирует полное разрушение образца после совершения определенной деформации.

Уравнения механического поведения модели в процессе ползучести

Полная деформация γ модели в любой промежуточный момент времени составляет

$$\gamma = \gamma_a + \gamma_b + \gamma_c, \quad (24)$$

где составляющие определяются из выражений (14), (17), (20) и (23). Рассмотрим поведение реологической модели при испытании на ползучесть, т. е. при постоянном значении касательного напряжения. Если $\tau < \tau_p$, то пружина H_a испытывает мгновенную деформацию γ_a (уравнение 14), которая со временем не изменяется. Реакция воспринимается ползуном StV . Если убрать напряжение, то пружина H_a полностью восстанавливает свою длину. Поэтому деформация γ_a является упругой. Если $\tau > \tau_p$, то пружина H_a испытывает мгновенную упругую деформацию (уравнение 14). Одновременно ползун StV сдвигается и воспринимает часть приложенного напряжения равную τ_p ; при этом включается контакт L и через змеевик Q начинает протекать охлаждающая жидкость (фаза мобилизации). Остальная часть напряжения, равная $\tau - \tau_p$, воспринимается пружиной H_b и происходит ее мгновенная деформация γ_b (уравнение 17). Реакция пружины H_b воспринимается поршнем N и происходит вязкое течение, скорость которого определяется вязкостью η жидкости в амортизаторе и величиной a сквозных отверстий в клапанном диске K (уравнение 20). На этом основании записываем

$$d\gamma = a \frac{\tau - \tau_p}{\zeta} \cdot \frac{dt}{t} \quad (25)$$

а интегрируя, получаем

$$\gamma = a \frac{\tau - \tau_p}{\zeta} \ln t + C \quad (26)$$

Для удобства математической интерпретации это уравнение заменим таким:

$$\gamma = a \frac{\tau - \tau_p}{\zeta} \ln \frac{t + \Delta t}{\Delta t} + C \quad (27)$$

Тогда при $t=0$ первый член этого уравнения превращается в нуль и постоянная интегрирования получается равной мгновенной деформации $\gamma_a + \gamma_b$ (уравнения 14 и 17).

$$C = -\frac{\tau}{G_a} + \frac{\tau - \tau_p}{G_b} \quad (28)$$

Прибавляя и вычитывая из правой части уравнения (28) величину $\frac{\tau - \tau_p}{G_a}$, будем иметь

$$\frac{\tau}{G_a} + \frac{\tau - \tau_p}{G_b} = \frac{\tau_p}{G_a} + (\tau - \tau_p) \frac{G_a + G_b}{G_a G_b}.$$

Обозначим модуль сдвига в интервале от 0 до τ_p через G_1 и в интервале от τ_p до τ через G_2 ; тогда

$$G_1 = G_a \text{ и } G_2 = \frac{G_a G_b}{G_a + G_b}. \quad (29)$$

Тогда уравнение (27) можно переписать так:

$$\gamma = \frac{\tau_p}{G_1} + \frac{\tau - \tau_p}{G_2} + a_1 \frac{\tau - \tau_p}{\zeta} \ln \frac{t + \Delta t}{\Delta t} \quad (30)$$

т. е. кривая ползучести в фазе мобилизации описывается логарифмическим уравнением.

Это уравнение действительно для первого положения клапанного диска при $a = a_1$. В конце этого этапа, при $t = t_1$, общая деформация составит

$$\gamma_1 = \frac{\tau_p}{G_1} + \frac{\tau - \tau_p}{G_2} + a_1 \frac{\tau - \tau_p}{\zeta} \ln \frac{t_1 + \Delta t}{\Delta t} \quad (0 < t < t_1) \quad (31)$$

При втором положении клапанного диска K к этой деформации γ_1 добавится деформация γ' при новом значении коэффициента a_2

$$\gamma' = a_2 \frac{\tau - \tau_p}{\zeta} \ln \frac{t + \Delta t}{t_1 + \Delta t} \quad (t_1 < t < t_2). \quad (32)$$

Отсюда получаем общее выражение для деформации в фазе мобилизации

$$\gamma = \frac{\tau_p}{G_1} + \frac{\tau - \tau_p}{G_2} + \frac{\tau - \tau_p}{\zeta} \sum_{i=1}^{n_1} a_i \ln \frac{t_i + \Delta t}{t_{i-1} + \Delta t}, \quad (33)$$

где $t_0 = 0$ и n_1 — число положений клапанного диска K до предела мобилизации.

В конечной фазе испытания, после достижения деформации γ_m (уравнение 16) включается контакт M и через змеевик Q протекает нагревающая жидкость (фаза разрушения); в этой фазе движение поршня происходит с увеличивающейся скоростью (уравнение 23). Отсюда

$$d\gamma = a \frac{\tau - \tau_p}{\zeta t_m^2} dt; \quad (34)$$

интегрируя, получаем

$$\gamma = a \frac{\tau - \tau_p}{\zeta t_m^2} \cdot \frac{t^2}{2} + C. \quad (35)$$

Постоянную интегрирования получаем из условия: при $t = t_m$ $\gamma = \gamma_m$, откуда

$$C = \gamma_m - a \frac{\tau - \tau_p}{2\zeta t_m^2}, \quad (36)$$

а подставляя в предыдущее уравнение, найдем

$$\gamma = \gamma_m + a \frac{\tau - \tau_p}{2\tau} \left(\frac{t^2}{t_m^2} - 1 \right), \quad (37)$$

т. е. кривая ползучести в фазе разрушения описывается уравнением параболы.

Уравнение (37) действительно для первого положения клапанного диска K после предела мобилизации; обозначим его буквой j . В конце этого этапа, при $t = t_j$, общая деформация составляет

$$\gamma_j = \gamma_m + a_j \frac{\tau - \tau_p}{2\tau} \left(\frac{t_j^2}{t_m^2} - 1 \right). \quad (38)$$

При втором положении клапанного диска к достигнутой деформации γ_j добавится деформация γ'' при новом значении коэффициента a_{j+1}

$$\gamma'' = a_{j+1} \frac{\tau - \tau_p}{2\tau} \left[\left(\frac{t^2}{t_m^2} - 1 \right) - \left(\frac{t_j^2}{t_m^2} - 1 \right) \right] \quad (39)$$

или

$$\gamma'' = a_{j+1} \frac{\tau - \tau_p}{2\tau t_m^2} \left(t^2 - t_j^2 \right). \quad (40)$$

В конце этого этапа, при $t = t_{j+1}$, общая деформация составит

$$\gamma = \gamma_j + a_{j+1} \frac{\tau - \tau_p}{2\tau t_m^2} \left(t_{j+1}^2 - t_j^2 \right) \quad (41)$$

или учитывая уравнение (38)

$$\gamma = \gamma_m + \frac{\tau - \tau_p}{2\tau t_m^2} \left[a_j(t_j^2 - t_m^2) + a_{j+1}(t_{j+1}^2 - t_j^2) \right]. \quad (42)$$

Отсюда получаем общее выражение для деформации в фазе разрушения

$$\gamma = \gamma_m + \frac{\tau - \tau_p}{2\tau t_m^2} \sum_{i=1}^{n_2} a_i(t_i^2 - t_{i-1}^2), \quad (43)$$

где $t_{j-1} = t_m$ и n_2 — число положений клапанного диска K после предела мобилизации.

Предлагаемая реологическая модель полностью отражает особенности механического поведения глины в течение всего процесса ползучести при сдвиге; она адекватно описывает фазы мобилизации и разрушения, пределы мобилизации и разрушения и скачкообразную перестройку структуры грунта.

ՍԱՀՔԻ ԺԱՄԱՆԱԿ ԿԱՎԻ ՍՈՂՔԻ ՆՈՐ ՌԵՌՈՂԻԱԿԱՆ ՄՈԴԵԼԻ¹

Պրեֆեսոր, տեխն. գիտ. դակտոր ԳԵՐՈՎԻ ՏԵՐ-ԱՏԵՓԱՆՅԱՆ²

Ո՞ւ ֆերա. Առաջարկվում է սահքի ժամանակ կավի սողքի նոր ռելոգիական մոդելը՝ Մողելը բաղկացած է առաջական մարմնից, որը հաջորդաբար միացրած է մի զույգի շեմ,

¹ Զեկուցված է 1973 թ. մայիսին Դիլիջանում կայացած Սողանքային ընթացքների առթյան սիմպոզիումում:

² ՀԱՅՀ ԳԱ գեոլոգիանիկայի լարորատորիայի վարիչ:

որում մի պլաստիկ մարմինը դուզահեռ միացրած է փոփոխական մածուցիկություն ունեցող առաջական մածուցիկ ունաբասացվող քայլքավող մարմնի հետո Ունողական մարմինը մոնղուացնում է սողքի երկու փուլ՝ մորիլիզացման ու քայլքաման և սահքի ընթացքում գործնական առաջարկություն բարձրավոր ստրուկտորաների մեջանակական հատկությունների հավանական բնույթը՝ նույն բնիքաված սողքի ընթացքում մողքի մեջանակական վարքի բանաձեռքը մորիլիզացման և քայլքայման փուլի համար։ Այդ բանաձեռքը աղեկվատորեն արտացոլում են գործնական վարքը սողքի ժամանակը։

1969—1972 թթ. ընթացքում կատարված տեսական ուսումնասիրությունը և փորձնական աշխատանքները թույլ տվեցին որոշ եզրակացություններ անել սահմանակ կավի սողբի վարքի վերաբերյալ: Հետազոտության արդյունքների նախնական տվյալները ներկայացվեցին Գրունտների մեխանիկացի 8-րդ միջազգային կոնֆեռսին (Տեր-Ստեփանյան և այլ., 1973): Առաջարկվող մողելի աշխատանքի պայմանների և գրունտի ռեզոլոգիական վարքի համապատասխանության լավ պատկերացման համար ստորև հակիրճ շարադրված են հիմնական տեսական և փորձնական արդյունքները: Ավելի մանրամասն նրանք կներկայացվեն մեկ ուրիշ տեղ:

Տեսական և փորձնական արդյունքներ

Սահմանակավի սողքի ընթացքը բաղկացած է երկու փուլից՝ մորթիլացման և քայքայման։ Սողքի ընթացքում առաջանում և քայքայվում է գրունտի ստրոկտորպաների հաջորդական մի շարք, որը բնութագրվում է մասնիկների որոշակի տեղադրմամբ և կողմնորոշմամբ, դրանց միջև կոնտակտներով և այդ կոնտակտներում գործող ուժերով։

Դրումաի ստրուկտուրաների ձևափոխման հատկությունները որոշվում են երկու հակադարձ հատկությունների հարաբերությունով՝ հոսումովիյան և կոշտության; Քանակական ձևով այդ հատկությունները արտահայտվում են կոնտակտային ուժերի F շոշափող և R նորմալ բաղադրիչների վեկտորային գումարներով. այդ կոնտակտային ուժերը գործում են մասնիկների կինտակտների միջով անցկացրած գրունտի դիտվող առ կտրվածքով (նկ. 1)³; Խնչան բարձր է F/R հարաբերությունը այնքան ավելի ձևափոխվում է գրունտը: Սողեի ընթացքում պահպանվում է հարաբերությունը (1), որտեղ Q -գրունտի կտըրվածքում գործող լրիվ ուժի վեկտորն է:

Անցումը մեկ ստրուկտորայից դեպի մյուսը կատարվում է թոփշքածե. ստրուկտորայի վերակառուցման ժամանակ տեղի է ունենում սահմանագիրը՝ ուղղակի լրացնելու վերաբերյալ և նրանց անցումը ակտիվ լրացնելու վերաբերյալ այդ պահին պահպանվում է (2) հարաբերությունը, որտեղ $K_a = (R/Q) \operatorname{tg} \theta$ ակտիվ ուժերի հարաբերության վեկտորն է, որը ցույց է տալիս կոնտակտային ուժերի այն մասը, որը իրականացվել է տեղի ունեցած ձևափոխության մեջ և բնութագրվում է գրունտի ստրուկտորային «կոշտությունը». $K_e = (F/Q) \operatorname{tg} \theta$ հավելորդային ուժերի հարաբերության վեկտորն է, որը ցույց է տալիս կոնտակտային ուժերի այն մասը, որը չի իրականացվել ձևափոխության մեջ. այն բնութագրում է գրունտի ստրուկտորայի «հոսունությունը». $K_t = \operatorname{tg} \theta$ —սահմանագիրը մորիլիզացված դիմադրության վեկտորն է, որը ուղղված է բոլոր ուժերի Q համագորի երկարությամբ:

Մորիկաղցման փուլում տեղի է ունենում գրունտի ստրուկտուրայի կարգվորում, այսինքն փաթիլածն մասնիկների կողմնորոշում, կապերի նստակյաց կյանքի միջին ժամանակը մեծանում է և այդ իսկ պատճառով՝ սողբի արագությունը նվազում է լարումների և հասակին ուղիղ համեմատական (բն. 3), որտեղ α -ստրուկտուրային գործակիցն է, որը կախված է գրունտի F/R ձևափոխումնակությունից և կապերի նստակյաց կյանքի ժամանակից, τ -գործող շղշափող լարումն է, τ_p -շղշափող լարման այն նշանակությունն է, եթե չի կատարվում սողբը և ζ -գրունտի ստատիկ մածուցիկությունն է:

Քայլական փոկում պրունտի ստրովտուրան դառնում է նվազ կարգա-

³ Նկարները և բանաձևերը տե՛ս էջ 108—115:

վորված, այսինքն տեղի է ունենում գրունտի ապակողմնորոշում, կապերի նստակյաց կյանքի միջին ժամանակը նվազում է և այդ իսկ պատճառով սողքի արագությունը աճում է ուղղի համեմատական ժամանակի հետ (բն. 4), որտեղ էտ մորիկիլիզացման ժամանակն է. այն համապատասխանում է մորիկիլիզացման փուլից անցմանը քայլայման փուլին: Այդ անցումը տեղի է ունենում որոշ շուրջորմացիալից հետո: Նրա մեծությունը կախված է լարման մակարդակից:

Այդ իսկ պատճառով ժամանակ-դեֆորմացիայի կորագծերը մորիկիլիզացման փուլում բաղկացած են լոգարիթմական կորագծերի կտորներից (բն. 5), իսկ քայլայման փուլում՝ պարաբուաների կտորներից (բն. 6), որտեղ ձեմեկ միավորին հավասար փոքր ժամանակամիջոց է, օր. 1 վայրկյան, որը մտցվում է բանաձևի մեջ ավելի լավ մաթեմատիկական մեկնաբանման համար: Գրունտի ստրոկտորային վերակառուցման մոմենտներում ընթացքը թույլ է մի հնարավոր կորագծից մի ուրիշ, նրան հատող կորագծին (նկ. 2): Ամեն մի այդպիսի կորագծի կտոր համապատասխանում է որոշակի գրունտի ստրոկտորային:

Ժամանակի և սողքի արագության միջև եղած փորձնական հարաբերությունը ցույց է տրված նկ. 3-ի վրա: Դա լուսաբանում է բն. 3 և 4. գրաֆիկը ցույց է տալիս սողքի արագության թոփքածե անցումներ երկու փուլում:

Եթե բացակայում է ստրոկտորայի վերակառուցումը, ապա սողքի արագությունը և շոշափող լարումների հասակի արտադրյալը գծայնորեն կապված են այդ լարումների մեծության հետ (նկ. 4): Այդ գծերը նկարագրվում են բն. 7-ով: Այսպիսով, բերված սեղողգիկական կորագծերի վրա ստատիկական մածուցիկությունը իրենից ներկայացնում է գրաֆիկի թեր մասի կողմից օրդինատների առանցքի հետ կազմված անկյան տանգենսը:

Նկ. 5-ը ցույց է տալիս շոշափող լարումների և մորիկիլիզացման սահմանի դեֆորմացիայի կապը (բն. 8), որտեղ G_m ՝ մորիկիլիզացման մոդուլն է:

Լարումների ցածր և միջին մակարդակի դեպքում քայլայման փուլում տեղի է ունենում ընթացքի բեկում, որը բնրում է նրա մարմանը (S ստարիլիզացման սահման). Ստարիլիզացման սահմանին համապատասխանող ներփորմացիան կախված է շոշափող լարումների մակարդակից: Նկ. 6-ի վրա ցույց է տրված շոշափող լարման և ներփորմացիայի միջև եղած գծային կապը, որը արտահայտվում է բն. 9-ով. այստեղ G_s ՝ ստարիլիզացման մոդուլն է: Շոշափող լարումների բարձր մակարդակի դեպքում ընթացքը ավարագում է կատարյալ քայլայմանը որոշ չորս դեֆորմացիային հասնելուց հետո:

Նկ. 7-ի վրա ցույց է տրված դեֆորմացիայի և սողքի արագության միջև եղած կապը (ներհատուկ կորագիծ): Թոփքից առաջիկա և հետագա սողքի արագությունների վերլուծումը ցույց է տալիս, որ գրունտի ստրոկտորայի թոփքածե փոփոխությունը իր նպատակն ունի բանաձևեր 3-ից մինչև 6-ի կողմից կարգադրված սողքի ընթացքը շեղել գեղի կանոնավոր, տվյալ գրունտի ներհատուկ ընթացքին:

Այսպիսով տվյալ նորմալ լարումների ժամանակ կալի սեղողգիկական վարքը որոշվում է չորս մեծությունով, որոնք ունեն լարման շափայնություն՝ սողքի սահմանը, ստատիկական մածուցիկությունը և մորիկիլիզացման ու ստարիլիզացման մոդուլներ: Այդ չորս մեծությունները գծայնորեն կախված են գրունտում գործող նորմալ ճնշման հետ (նկ. 8, բն. 10 մինչև 13), որտեղ $\sigma_0 = c'ctg\varphi'$ կապակցության բազմակողմանի ճնշումն է, c' և φ' ՝ սահմանագրության պարամետրներն են Կուլոն-Տերցագիի հավասարությունում՝ $c = c' + \sigma'ctg\varphi'$ և $\sigma' = -c'\Phi_{\text{եկտիվ}}^2$ լարումն է:

Մեղողիկական մոդելի կառուցվածքը

Վերև շարադրված սահմանակ կալի սողքի տեսությունը և փորձնական եղածնակով հաստատված օրինաչափությունները թույլ են տալիս առաջիկ գրունտի սեղողգիկական նոր մոդել (նկ. 9): Մոդելը բաղկացած է երեք մասից՝ վերին, ձախ և աջ:

Վերին մասը՝ Հուկի առաջգական մարմինն է (Հ. զսպանակ): Կիրառված շոշափող՝ լարման աղղեցության տակ զսպանակը ակնթարթորեն երկարում է՝ և երկարությամբ (բն. 14), որտեղ G_+ -զսպանակի առաջգականության մոդուլն է: Մարմինը ամեն մի լարման դեպքում ենթարկվում է ակնթարթային առաջգական դեֆորմացիայի:

Զախ մասը՝ Սան Վենանի պլաստիկ մարմինն է (սողուն *StV*), որի տարրերի միջև գործում է չոր կամ կուզոնյան շփումը: Եթե կիրառված լարումը $\tau > \tau_p$, որտեղ τ_p ՝ սողունի պլաստիկության սահմանն է, ապա սողունը մնում է անշարժ: Եթե $\tau < \tau_p$, ապա ալդ մարմինը անվերադարձ շարժվում է: Այսպիսով այն կարող է ընդունել τ_p չգերազանցող լարում և շարժվել լարման ուղղությամբ $\tau = \tau_p$ հավելցուկի աղեցնության տակ: Այս կատարվում է *H_a* գոպանակը՝ երկարությամբ ճգփելուց հետո (բն. 15):

Աշ մասը՝ փոփոխական մածոցի կովկյուն ունեցող առաջգական-մածուցիկ ուլաքացվող քայլացվող մարմինն է: Այն բազկացած է H_0 զապանակից, որը հաջորդաբար միացված է S անցքերով գալիքոնացված N միտոցի հետ, որը շարժվում է Q զալարք ունեցող P մեղմիչի միջով: N միտոցը ունի T անցքեր և կափուրային K սկավառակ, որը կարող է պտտվել իր առանցքի շուրջը: K սկավառակի պտտումը կատարվում է թիլչքաձև, ամեն անգամ K սկավառակի T անցքերի մի մասը գտնվում է N միտոցի S անցքերի դիմաց: Այդպիսի բաց անցքերը ցուց են տրված սլաքներով (նկ. 9): Բաց անցքերի ընդհանուր մակերեսը բնութագրվում է ա ստրուկտուրային գործակցով, այդ մեծությունը փոփոխվում է ըստ ծրագրի: Կափուրային K սկավառակի ամեն մի դիրքին համապատասխանում է գրունտի որոշակի ստրուկտուրա: P մեղմիչի երկարությունը հավասար է քայլացման նշ դեֆորմացիային: Հենց որ դեֆորմացիան համանում է այդ մեծությանը, միտոցը դուրս է գալիս մեղմիչից և մարմինը քայլացվում է:

Ընելողիքական մարմնի աջ մասը ունի կրկու L և M կոնտակտներ, L կոնտակտը միանում է շարժման սկզբին, երբ $\tau > \tau_p$. այնուհետև սառեցնող հեղուկը հոսում է Q գալարքի միջով (մորիլիզացման փուլ), երկրորդ M կոնտակտը միանում է Դա մորիլիզացման դեֆորմացիայից հետո. այնուհետև տաքացնող հեղուկը հոսում է Q գալարքի միջով (քայլքայման փուլ), Մորիլիզացման Դա դեֆորմացիայից արժեքը կախված է լարումների և մակարդակից և մորիլիզացման G_m մոդուլից, ըստ բն. (16):

Բնդիանուր և լարման մի մասը, հավասար շ—շ_ρ փոխանցվում է ռեռլու-
ղական մարմնի աջ մասին և գործում է H_b զսպանակի և P մեղմիչի վրա:
Այս ներդրության հետեւանքով H_b զսպանակը երկարում է շի չափով (բն.
17), որտեղ G_b —զսպանակի առաձգականության մոդուլն է: շ—շ_ρ լարման աղ-
ցիցության առակ N միացը շարժվում է մեղմիչի շու արագությամբ (բն. 18),
որտեղ α —ստրոկատորալին գործակիցն է, որը կախված է բաց անցքերի մա-
կիքնեսից, ու—մեղմիչի մեջ եղած հեղուկի դինամիկական մածոցիկությունից:

Հեղուկը մեջմիշում սառչում է մորիլիզացման փուլում և նրա դինամիկական դաշտութիվումը սկսած զրոյից աճում է ուղիղ համեմատական ժամանակի հետ (բն. 19), որտեղ՝ ստատիկական մածուցիկությունն է: Տեղադրելով այս մեծությունը բն. (18) մեջ, ստանում ենք միտոցի շարժման արագությունը մորիլիզացման փուլում (բն. 20), այսինքն շարժման արագությունը նմանում է:

Քայլքայման փուլում հեղուկը մեղմիչի մեջ տաքանում է և նրա դինամիկական մածուցիկությունը նվազում է՝ շասած մեծությունից (բն. 21), որտեղ $t_{\text{ա}} - \text{մորիկիզագման}$ ժամանակն է. դինամիկական մածուցիկության նվազումը հակադարձ համեմատական է անցած t ժամանակի հարաբերությանը՝ $t_{\text{ա}}$ մորիկիզագման ժամանակին (բն. 22). *Sbηզադելով* այս արժեքը բն. (18) մեջ, ստանում ենք միացի շարժման արագությունը քայլքայման փուլում (բն. 23), այսինքն շարժման արագությունը աճում է:

Եթե ուսողիքական մարմնի $A \wedge B$ ծայրերը ամբացված են, մխոցի շարժման ժամանակ H_0 զսպանակը առաջգականորեն կվերականգնի իր սկզբական երկարությունը: Մարմնի ընդհանուր դեֆորմացիան պահպանվում է, բայց լարումները մարմնի աջ մասում անհայտանում են: Քանի որ լարումները H_0 զսպանակում լրիվ չեն վերացվում, ապա տեղի է ունենուած մասնակի ուղարկացիա: Եթե մարմնի $A \wedge B$ կետերը շամբացնենք, ապա լարումների ազդեցության տակ տեղի կունենա դեֆորմացիա: Մխոցի մածուցիկ տեղաշարժման հաշվին առաջգական $\gamma_a + \gamma_b$ դեֆորմացիային կավելանն ու առաջգական դեֆորմացիա, որը կատարվում է փոփոխական արագությամբ ժամանակի ընթացքում մեղմիցում հեղուկի սառեցման հետևանքով (դանդաղեցվող սողի մորիլիկացման փուլում) կամ հեղուկի տաքացման հետևանքով (արագացվող սողի քայլայման փուլում): Առաջարկվող ուղղողիական մարմինը տարբերվում է Շվեդովի մարմնից հետեւյալ կարեռ առանձնահատկություններով՝¹⁾ 1) գալարքը սառեցնող կամ տաքացման հեղուկը, որը մողելացնում է փոփոխական մածուցիկությունը. 2) L և L' կոնտակուներ որոնք կարգավորում են հեղուկի սառեցումը և տաքացումը և մողելացման են սողիի սահմանը և մորիլիկացման դեֆորմացիան. 3) կափուրային սկավառակ, անցքերի ծրագրած դասավորումով, որը մողելացնում է գրանտ ստրուկտուրաների մեխանիկական հատկությունների հավանական բնույթը ստարիլիկացման սահմանը՝ ցածր և միջին լարումների դեպքում, և դեֆորմացիաների արագացումը քայլայմից առաջ՝ բարձր լարումների դեպքում. 4) մեղմիչի վերջավոր շրջապատճենը, որը մողելացնում է նմուշի լրիվ քայլումը որոշակի դեֆորմացիայից հետո:

Սողիի ընթացքում մողելի մեխանիկական վարելի հավասարությունը

Ժամանակի ցանկացած մումենտում մողելի լրիվ γ դեֆորմացիան կատարվում է (24) հավասարում, որտեղ բաղադրիչները որոշվում են ըն. (14), (17), (20), և (23)-ից: Դիտենք սուլոզիական մողելի վարքը սողիի փորձարկման ժամանակ, այսինքն շոշափող լարումների հաստատում արժեքի դեպքում եթե $\gamma < \gamma_p$, ապա H_0 զսպանակը կրում է ակնթարթային γ_a դեֆորմացիա (ըն. 14), որը ժամանակի ընթացքում չի փոփոխվում: Հակազդումը ընդունվում է StV սողունով: Եթե լարումը հանված է, ապա H_0 զսպանակը լրիվ վերականգնում է իր երկարությունը: Այդ իսկ պատճառով γ_a դեֆորմացիա առաջական է: Եթե $\gamma > \gamma_p$, ապա H_0 զսպանակը կրում է առաջգական դեֆորմացիա (ըն. 14): Միաժամանակ StV սողունը տեղաշարժվում է և ընդունում է կիրառած լարման մի մասը, հավասար γ_p . ապա միանում է L կոնտակուն Q զալարքի միջով սկսում է հոսել սառեցնող հեղուկը (մորիլիկացման փուլ): Լարման մնացած $\gamma - \gamma_p$ մասը ընդունվում է H_0 զսպանակով և կատարվում է գրանտական համար դեֆորմացիան (ըն. 17): H_0 զսպանակը հակազդումը ընդունվում է N մխոցի կողմից և տեղի է ունենում մածուցիչ հոսք, որի արագությունը որոշվում է մեղմիչում հեղուկի դաշտուցիկությամբ և կափուրային K սկավառակի միջանցիկ անցքերի ամեծությունով (ըն. 20). Այդ իսկ պատճառով գրում ենք ըն. (25), և ինտերգրելով ստանում ենք (26):

Մաթեմատիկական լուսաբանման նպատակով այդ բանաձեռ փոփորման ենք ըն. (27)-ով: Այդ գեպքում, եթե $t=0$, (ըն. 27) առաջին անդամը հավասար է զրոյի և C ինտերգրման հաստատումը հավասար է $(\gamma_a + \gamma_b)$ ակնթարթային դեֆորմացիային (ըն. 28): Այդ հավասարության աջ կողմից ավելացնելով և հանելով $(\gamma - \gamma_p)/G_a$ և նշելով G_1 սահմանական մոդուլը $0 - \eta$ մինչև γ_p ինչ տերվալում և G_2 γ_p -ից մինչև γ ինտերվալում (տես' ըն. 29), արտագրուենք ըն. (25) հետեւյալ ձևով (ըն. 30), այսինքն սողիի կորագիծը մորիլիկացման փուլում նկարագրվում է լոգարիթմական բանաձեռով:

Այդ բանաձեռ ուժի մեջ է K կափուրային սկավառակի առաջին դիրք համար, եթե $a = a_1$: Այդ փուլի վերջում, եթե $t = t_1$, բնդանով դեֆորմացիա կլինի (ըն. 31): Կափուրային սկավառակի երկրորդ դիրքում a_2 գործակչ

նոր արժեքի դեպքում՝ γ' դեֆորմացիան կավելանա այդ դեֆորմացիային (բն. 32); Այստեղից գտնում ենք մորիլիզացման փուլում դեֆորմացիայի ընդհանուր հավասարում (բն. 33), որտեղ $t_0=0$ և n_1 -կափուրային սկավառակի դիրքերի քանակն է մինչև մորիլիզացման սահմանը:

Փորձի վերջին փուլում, եթե դեֆորմացիան հասնում է γ_m (բն. 16), միանում է M կոնտակտը և Q գալարքի միջով հոսում է տաքացնող հեղուկը (քայլայման փուլ), այս փուլում միացի տեղաշարժը կատարվում է արագացող արագությամբ (բն. 23); Այստեղից գրում ենք բն. (34) և ինտեգրելով ստանում ենք բն. (35); Ինտեգրման հաստատուն ստանում ենք պայմանից՝ $t=t_m$, $\gamma=\gamma_m$. մտցնելով բն. (35) մեջ գտնում ենք բն. (37), այսինքն սողբի կորագիծը քայլայման փուլում նկարագրվում է պարարուայի հավասարումով:

Բն. (37) ուժի մեջ է մորիլիզացման սահմանից հետո կափուրային սկավառակի առաջին դիրքի համար. նշենք այն j : $\Phi_{ij} \gamma_j$ վերջում, եթե $t=t_j$, ընդհանուր դեֆորմացիայում A_{j+1} գործակցի դեպքում, γ'' դեֆորմացիան կավելանա այդ դեֆորմացիային (բն. 39 կամ 40); Այդ փուլի վերջում, եթե $t=t_{j+1}$, ընդհանուր դեֆորմացիան կլինի (բն. 41), կամ հաշվի առնելով բն. (38), գտնում ենք բն. (42); Այստեղից գտնում ենք քայլայման փուլում դեֆորմացիայի ընդհանուր հավասարումը (բն. 43), որտեղ $t_{i-1}=t_m$ և n_2 մորիլիզացման սահմանից հետո կափուրային սկավառակի դիրքերի քանակն է:

Առաջարկվող ռելյուզիական մոդելը արտացոլում է կավի մեխանիկական վարքի բոլոր հատկանիշները սահմանակ սողբի ամբողջ ընթացքում. այն աղեկվատորեն նկարագրում է մորիլիզացման և քայլայման փուլերը, մորիլիզացման և ստարիլիզացման սահմանները և գրունտի ստրուկտուրայի թուլքածե վերակարգավորումը:

NEW RHEOLOGICAL MODEL OF CREEP OF A CLAY AT SHEAR¹

GEORGE TER-STEPANIAN², Prof., Dr.Sc. (Eng.)

SYNOPSIS. A new rheological model of creep of a clay at shear is suggested. The model consists of an elastic body, connected in series with a pair, where a plastic body is connected in parallel with an elastic viscous relaxing destructible body of varying viscosity. The rheological body models both phases of the creep—mobilization and rupture and the probabilistic character of the soil structures originated and destroyed in the creep process. Equations of the mechanical behaviour of the model in the mobilization and rupture phases are derived; these equations adequately reflect the behaviour of soil at creep.

Theoretical study and experimental work performed in 1969—1972 have led us to come to a number of conclusions concerning the clay behaviour in the process of creep at shear. A preliminary report on the results of this investigation was presented to the Eighth International Conference on Soil Mechanics in Moscow (Ter-Stepanian et al., 1973). The basic theoretical and experimental results are stated concisely below for a better understanding of operating conditions of the suggested model and its correspondence with the rheological behaviour of the soil. These results will be presented in more detail elsewhere.

Theoretical and experimental results

The process of creep of clay at shear consists of two phases: mobilization and rupture. Succession of soil structures are originated and

¹. Reported at the Symposium on the Theory of Landslide Processes held in May 1973 in Dilijan.

² Head, Laboratory of Geomechanics, Armenian Academy of Sciences.

destroyed in the process of creep; they are characterized by a definite arrangement and orientation of particles, contacts between particles and forces that act in these contacts.

Deformative properties of soil structures are determined by relationship between two opposite properties: fluidity and rigidity; the higher this ratio the more deformable the soil. These properties quantitatively are expressed in vectorial sums of the shear F and normal R components of contacts of forces, acting in an arbitrary section aa through the contacts of soil particles (Fig. 1)³. The higher this ratio F/R the more deformable the soil. The relation (1) holds during the creep process, where Q is the vector of the total force acting in the soil section.

The transition from one structure to another takes place in a jump-like way; the discharge of the excessive shear stresses and their transition into the active stresses occurs during this reorganization of the structure. The relationship (Eq. 2) is maintained in the process, where $k_a = (R/Q) \tan \theta$ is the vector of the active force ratio, showing that part of contact forces which have been realized in the deformation; it characterizes the «rigidity» of the soil structure; $k_e = (F/Q \tan \theta)$ is the vector of the excessive force ratio, showing that part of contact forces which have not been realized in the deformation; it characterizes the «fluidity» of the soil structure; and $k_t = \tan \theta$ is the vector of the mobilized shear strength directed along the resultant of all forces Q .

In the mobilization phase the soil structure becomes more regular, i. e. an orientation of soil particles takes place, the average lifetime of bonds increases and therefore the creep rate decreases directly with the stress age t (Eq. 3), where a is the structural coefficient depending on the soil deformability F/R and on the lifetime of bonds, τ is the acting tangential stress, τ_p is the tangential stress by which no creep occurs (creep limit) and γ is the static viscosity of the soil.

In the rupture the soil structure becomes less regular, i. e. the deorientation of soil particles occurs, the average lifetime of bonds decreases and therefore the strain increases directly with the stress age (Eq. 4) where t is the mobilization time corresponding to the transition from the mobilization phase to the rupture phase. This transition takes place after a definite deformation γ ; its magnitude depends on the stress level.

Therefore the time-strain curves in the mobilization phase consist of pieces of the logarithmic curves (Eq. 5) while in the rupture phase they consist of pieces of parabolas (Eq. 6), where Δt is a small time interval, equal to one unit, e. g. 1 second, which is introduced into the equation for a better mathematical interpretation. In the moments of the soil structure reorganization the process jumps over from one possible curve to another one intersecting it (Fig. 2). Each of such piece of the curve corresponds to a definite soil structure.

The experimental relationship between the time and the strain rate is shown in Fig. 3; it illustrates the Eqs. (3) and (4); the graph shows a jump-like change of the creep strain rate in both phases of the deformation.

The product of the creep rate if no jump-like reorganization of the structure takes place and of the shear stress age is linearly connected with the magnitude of these shear stress (Fig. 4). These lines are described by Eq. (7). Thus the static viscosity is tangent of the angle formed by the inclined part of rheological curves.

³ Figures and formulas see p. 108–119.

The linear relationship between the shear stress and the mobilization strain γ_m (Fig. 5) is expressed by Eq. (8), where G_m is the mobilization modulus.

In the rupture phase the soil becomes less regular, i. e. the de-orientation of soil particles occurs, the average lifetime of bonds decreases and therefore at low and middle stress levels a break in the process takes place which leads to its dumping (stabilization limit S); the strain corresponding to the stabilization limit depends on the shear stress level. The linear relationship between the shear stress and strain γ_s (Fig. 6) is expressed by Eq. (9), where G_s is the stabilization modulus. At high stress levels the process ends in the total rupture after a certain strain γ_r is reached.

The relationship between the creep strain γ and the creep strain rate $\dot{\gamma}$ is shown in Fig. 7 (intrinsic curve). The analysis of the creep strain rate before and after the jump shows that the jump-like change of the soil structure tends to deviate the creep process from that which is ordered by equations of the mechanical behaviour of structures (Eqs. 3 to 6) to another one intrinsic for the given soil.

Thus the rheological behaviour of clay at the given value of normal stress is determined by four constant values which have a dimension of stress: creep limit, static viscosity and mobilization and stabilization moduli. These four values are linearly connected with the normal stress, acting in the soil (Fig. 8, Eqs. 10 to 13), where $\sigma_0 = c' \cot \varphi'$ is the tension intercept, c' and φ' are parameters of the Coulomb-Terzaghi's shear strength equation $\tau_i = c' + \sigma' \tan \varphi'$ and σ' is the effective stress.

Arrangement of the rheological model

The propounded theory of creep of clay at shear and the experimentally determined relationships of soil behaviour make it possible to suggest a new rheological model of soil (Fig. 9). The model consists of three parts: upper, left and right.

The upper part is an *elastic* Hook body (spring H_a). Under the action of the applied shear stress τ the spring elongates instantly by the length γ_n (Eq. 14), where G_a is the modulus of elasticity of the spring H_a . The body undergoes elastic instantaneous strain at any stress.

The left part is a *plastic* St. Venant body (StV), where Coulomb friction acts. If the applied stress $\tau < \tau_p$, where τ_p is the plasticity limit of the St. Venant body the latter remains motionless; if $\tau > \tau_p$ this body moves irreversibly. Thus it may take over the stress not exceeding τ_p and move in direction of the stress under the action of the excess $\tau - \tau_p$. This happens after the spring H_a elongates for the length γ (Eq. 15).

The right part is an *elastic-plastic relaxing destructible* body of varying viscosity. It consists of a spring H_b successively connected with a bored piston N with holes S , moving in a damper P with a coil Q . The piston N has holes T and a valve disk K which may turn around its axis. Rotation of the disk K proceeds in a jump-like way; each time a part of holes T of the disk K is facing a part of holes S of the piston N . Such open holes are shown by arrows in Fig. 9. The total area of the open holes is characterized by structural coefficient a ; this value changes by program. To each position of the valve disk K corresponds a definite structure of the soil. The length of the damper P is equal to the rupture strain γ_r ; as soon as the strain reaches this value the piston N moves out of the damper P and the body is destroyed.

The right part of the rheological body has two contacts L and N . The contact L is switched on at the start of the movement at $\tau > \tau_p$; then the cooling liquid flows through the soil Q (mobilization phase). The second contact M is switched on after the mobilization strain γ_m takes place; then the heating liquid flows through the coil Q (rupture phase). The value of the mobilization strain γ_m depends on the stress level τ and on the mobilization modulus G_m according to Eq. (16).

A part of the total stress τ equalling $\tau - \tau_p$ is transferred to the right part of the rheological body and acts on the spring H_b and the damper P . Under this action the spring H_b elongates instantly by the length γ_b (Eq. 17), where G_b is the modulus of elasticity of the spring H_b . Under the action of the stress $\tau - \tau_p$ the piston N moves in the damper at the rate of $\dot{\gamma}_c$ (Eq. 18), where a is the structural coefficient depending on the area of the open holes in the piston, and η is the dynamic viscosity of the liquid in the damper P .

The liquid in the damper is cooled in the mobilization phase and its dynamic viscosity η increases from zero directly with the elapsed time t (Eq. 19), where ζ is the static viscosity. Substituting this value into the Eq. (18), we get the rate of movement of the piston in the mobilization phase (Eq. 20), i. e. the rate of movement decreases.

In the rupture phase the liquid in the damper is heated and its dynamic viscosity decreases from the maximum value η_m (Eq. 21), where t_m is the mobilization time; this decrease of the dynamic viscosity proceeds directly with the time t elapsed after the mobilization time t_m (Eq. 22). Substituting this value into the Eq. (18), we get the rate of movement of the piston in the rupture phase (Eq. 23), i. e. the rate of movement increases.

If the ends A and B of the rheological body are fixed the spring H_b will elastically restore its length as the piston moves. The total deformation of the body will be preserved while stress in the right part will disappear. Since the stress in the spring H_b will not eliminate completely, partial relaxation will take place as a whole. If the ends A and B remain unfixed deformation will occur under the action of the stress τ ; inelastic strain γ_c will be added to the elastic one $\gamma_a + \gamma_b$ on account of the viscous displacement of the piston, proceeding at a changeable rate due to the cooling or heating of liquid in the damper (*damping creep* in the mobilization phase and *accelerating creep* in the rupture phase).

The suggested rheological body differs from Schwedoff's body by the following important features: 1) the coil with cooling or heating liquid models the varying viscosity increasing in the mobilization phase and decreasing in the rupture phase; 2) the contacts L and M control the cooling and heating of the liquid in the damper and model the creep limit and the mobilization limit respectively; 3) the valve disk with programmed disposition of holes models the probabilistic nature of the mechanical properties of soil structures, the stabilization limit γ_s at low and middle stress levels and creep acceleration at high stress levels; 4) the finite length γ_r of the damper models the total destruction of the sample after a certain strain is reached.

Equations of mechanical behaviour of the model in the creep process

The total deformation γ of model at any moment of time will be (Eq. 24), where components are determined from Eqs. (14), (17), (20) and (23). Let us consider the behaviour of the rheological body by creep tests, i. e. at the constant value of the shear stress. If $\tau < \tau_p$ the spring H_a will deform instantly for the length γ_a (Eq. 14) which does not change with time. The reaction is taken over by the plastic body StV . If

the stress is removed the spring H_a will restore completely its length. Therefore the strain γ_a is elastic. If $\tau > \tau_p$ the spring H_a will undergo instantaneous elastic deformation γ_a (Eq. 14). Simultaneously the plastic body StV displaces and takes a part of the applied stress equal to τ_p ; the contact L is switched on therewith and the cooling liquid starts to flow through the coil Q (mobilization phase). The remaining part of the stress, equal to $\tau - \tau_p$, is taken over by the spring H_b and therefore instantaneous deformation occurs (Eq. 17). The reaction of this spring is taken over by piston N and viscous flow occurs; its rate is determined by viscosity η of the liquid in the damper and by the magnitude a of open holes in the valve disk K (Eq. 20). Therefore we write Eq. 25, and integrating, we get Eq. 26.

For a better mathematical interpretation we replace this equation by Eq. (27). Then at $t=0$ the first member of the Eq. (27) is zero and the constant C of integration is equal to the instantaneous strain $\gamma_a + \gamma_b$ (Eq. 28). Adding and subtracting from the right part of this equation $(\tau - \tau_p)/G_a$ and denoting modulus of shear deformation in the interval from 0 to τ_p by G_1 and in interval from τ_p to τ by G_2 (see Eqs. 29), we rewrite Eq. (25) as (Eq. 30), i. e. the creep curve in the mobilization phase is described by a logarithmic equation.

This equation is valid for the first position of the valve disk K , at $a=a_1$. At the end of this stage, at $t=t_1$ the total deformation will be (Eq. 31). In the second position of the valve disk the deformation γ' at a new value of the coefficient a_2 will be added to this deformation (Eq. 32).

Hence we get the general equation for deformation in the mobilization phase (Eq. 33), where $t_0=0$ and n_1 is the number of position of the valve disk before the mobilization limit.

In the final phase of the test after the deformation γ_m is attained (Eq. 16) the contact M is switched on and the heating liquid flows through the coil Q (rupture phase); the displacement of the piston in this phase proceeds at an accelerating rate (Eq. 23). Hence we write Eq. (34), and integrating it we get Eq. (35). The constant C of integrating is received from the condition at $t=t_m$, $\gamma=\gamma_m$; substituting into Eq. (35) we find Eq. (37) i. e. the creep curve in the rupture phase is described by the equation of a parabola.

Eq. (37) is valid for the first position of the valve disk K after the mobilization limit; let us denote it j . At the end of this stage at $t=t_j$ the total deformation will be (Eq. 38). In the second position of the valve disk the deformation γ'' at a new value of the coefficient a_{j+1} will be added to this deformation (Eq. 39 or 40). At the end of this stage, at $t=t_{j+1}$ the total deformation will be (Eq. 41) or taking into account Eq. (38), we find Eq. (42). Hence we get the general equation for deformation in the rupture phase (Eq. 43) where $t_{j-1}=t_m$ and n_2 is the number of positions of the valve disk K after the mobilization limit.

The suggested rheological model reflects all features of the mechanical behaviour of clay during the whole process of creep at shear; it describes adequately the mobilization and rupture phases, mobilization and stabilization limits and the jump-like reorganization of soil structure.

ФИЧИРЗИН — ЛИТЕРАТУРА — REFERENCES

Тер-Степанян Г. И., Месчян С. Р. и Галстян Р. Р., 1973. Исследование ползучести глинистых грунтов при сдвиге. Труды к VIII Международному конгрессу по фундаментстрою, М., с 51—63.

Ter-Stepanian G., Meschian S. R. and Galstian R. R., 1973. Investigation of creep of clay soils at shear. Proceedings, Eighth Internat. Confer. Soil Mech. Found. Engg., Moscow, v. 1. pt. 2, p. 433—438.